

تأثیر مهارکننده های HMG - CoA ردوکتاز و ACAT بر ترشح محتوای پروتئینی و فسفولیپیدی VLDL1 و VLDL2 در مدل خوکچه هندی

دکتر فرزاد اسدی^۱، دکتر محمود دوستی^{۱*}، دکتر مهین زهرائی^۱، دکتر محمود قاضی^۲، دکتر شهین احمدیان^۳، صدیقه سلیمانی^۱

دریافت مقاله: ۲۴ شهریور ماه ۱۳۸۲
پذیرش نهایی: ۳ آذر ماه ۱۳۸۲

Effect of HMG-CoA reductase and ACAT inhibition on protein and phospholipid contents of VLDL1 and VLDL2 in guinea pig model

Asadi F.,¹ Doosti M.,¹ Zahraei M.,¹ Ghazi M.,² Ahmadian S.,³ Solaimani S.¹

¹Department of Medical Biochemistry, Tehran University of Medical Sciences, Tehran -Iran . ²Department of medical pharmacology Tehran University of Medical Sciences, Tehran-Iran. ³Institute of Biochemistry and Biophysics, University of Tehran, Tehran-Iran.

Objective: To compare the effect of HMG-CoA reductase and ACAT inhibition on the protein and phospholipid contents of perfusate VLDL1 and VLDL2.

Design: Experimental study.

Animal: Guinea pig.

Procedure: After anesthesia and abdominal surgery, guinea pig liver was perfused by Krebs-Henslite buffer through completely closed perfusion system. In continue the effect of progesterone, lovastatin and progesterone plus lovastatin on the perfusate VLDL1 and VLDL2 contents was studied. For this reason, VLDL fractions were separated by cumulative flotation ultracentrifugation, confirmed by electron microscopy and in each pool total protein (TOP), total lipid and phospholipid (PL) were measured.

Statistical analysis: Percent of 90 minute point mean secretion were compared among different treatment groups by ANOVA. Moreover, slope linear regression between each of treatment group and control was analyzed by t-student test.

Results: Progesterone has no significant effect on total lipid, TOP and PL contents of VLDL1 while percent slope changes of linear regression for VLDL2 contents show a significant decrease in lovastatin treatment group ($P < 0.05$). Lovastatin lowers total lipid (by 20%) in VLDL1 and (by 41%) in VLDL2. PL decrease is 20% in VLDL1 and 39% VLDL2. These changes in Progesterone plus lovastatin treatment group are 20% and 40% for total lipid and 21% and 44% for phospholipid.

Clinical implications: The effect of HMG-CoA reductase inhibitors on smaller VLDL2 is more than larger VLDL1. These findings are important for using of LDL animal as a model for studying of lipoprotein disorders.

J. Fac. Vet. Med. Univ. Tehran. 59, 4: 357-364, 2004.

Key words: Perfusion, Liver, Triglyceride, Esterified, Cholesterol.

Corresponding author's email: doostimd@tums.ac.ir

هدف: مقایسه مهار دونوع آنزیم HMG-CoA ردوکتاز و ACAT بر محتوای پروتئینی و فسفولیپیدی VLDL1 و VLDL2 مترشح از کبد.

طرح: مطالعه تجربی.

حیوانات: خوکچه هندی.

روش: کبد خوکچه های هندی پس از بیهوشی و جراحی محوطه بطنی در سیستم پرفیوژن مدار بسته با بافر کربس - هنسلیت (Krebs-Henslite) پرفیوژن گردید. در این حالت تأثیر داروهای لواستاتین (Lovastatin)، پروژسترون (Progesterone) و پروژسترون + لواستاتین بر محتوای پروتئینی و فسفولیپیدی فراکسیون های VLDL1 و VLDL2 مورد مطالعه قرار گرفت. برای این منظور فراکسیون های VLDL با روش اولتراسانتریفیوژ تجمعی - شناوری جدا شدند و با میکروسکوپ الکترونی تایید گردیدند. پس از آزادسازی محتوای این فراکسیون ها میزان لیپید تام، پروتئین تام و فسفولیپید آنها اندازه گیری شد.

تجزیه و تحلیل آماری: میانگین تغییر درصد ترشح دقیقه ۹۰ در بین گروههای مختلف با روش ANOVA مورد مطالعه قرار گرفت. از سوی دیگر اختلاف شیب رگرسیون خطی گروههای درمانی و کنترل با آزمون t-student مطالعه شد.

نتایج: در حالیکه پروژسترون فاقد تأثیر معنی دار بر ترشح لیپید تام، فسفولیپید و پروتئین تام VLDL1 می باشد، تغییر درصد شیب رگرسیون خطی برای VLDL2 در مقابل لواستاتین معنی دار است ($P < 0.05$). در این راستا لواستاتین به ترتیب موجب کاهش ۲۰ و ۴۱ درصد در لیپید تام VLDL1 و VLDL2 می شود. میزان کاهش فسفولیپید به ترتیب ۲۰ و ۳۹ درصد است. از سوی دیگر در گروه درمانی پروژسترون + لواستاتین میزان این تغییرات برای لیپید تام به ترتیب ۲۰ و ۴۵ درصد و برای فسفولیپید ۲۱ و ۴۴ درصد است.

نتیجه گیری: کلسترول استریفیه نقش مهمی در فرآیند لیپید دار شدن و ترشح فراکسیون های VLDL1 و VLDL2 در مدل پرفیوژن کبد خوکچه هندی دارد؛ به نحوی که تأثیر مهارکننده های HMG-CoA ردوکتاز بر VLDL های با اندازه کوچکتر بیشتر از تأثیر آن بر VLDL های با اندازه بزرگتر است. این یافته ها برای مطالعه اختلالات لیپوپروتئین ها با استفاده از حیوانات مدل LDL حائز

اهمیت زیادی است. مجله دانشکده دامپزشکی دانشگاه تهران، (۱۳۸۳)، دوره ۵۹، شماره ۴، ۳۶۴-۳۵۷.

واژه های کلیدی: پرفیوژن، کبد، تری گلیسرید، کلسترول استریفیه.

(۱) گروه آموزشی علوم پایه دانشکده پزشکی دانشگاه علوم پزشکی تهران، تهران - ایران.

(۲) گروه آموزشی فارماکولوژی دانشکده پزشکی دانشگاه علوم پزشکی تهران، تهران - ایران.

(۳) مؤسسه بیوشیمی و بیوفیزیک دانشگاه تهران، تهران - ایران.

(۴) گروه آموزشی علوم پایه دانشکده دامپزشکی، دانشگاه تهران، تهران - ایران.

*نویسنده مسؤول doostimd@tums.ac.ir



ذخیره ای CE داخل سلولی را تولید می کند. از آنجایی که CE نقش به سزایی در تبدیل مونوسیت ها به ماکروفاژهای کف آلود و پیدایش بیماری قلبی - عروقی دارد (۱۷، ۳۵) دستیابی به مهارکننده ای جهت این آنزیم از اهمیت به سزایی برخوردار است. در این رابطه مشخص شده که پروژسترون (هورمون استروئیدی زنانه) در برخی از رده های سلولی باعث مهار آنزیم ACAT می شود (۵). البته در این رابطه نظرات متناقضی گزارش شده است به گونه ای که برخی از محققین کاهش ترشح ApoB و برخی دیگر افزایش ترشح آن را در نتیجه تأثیر این هورمون بر روی کبد گزارش کرده اند (۱۶).

از طرف دیگر HMG-CoA ردوکتاز که آنزیم ناظم بیوسنتز FC است سو بستری مورد نیاز آنزیم ACAT را تأمین می کند. تا کنون مطالعات زیادی برای مهار آنزیم HMG-CoA ردوکتاز به عمل آمده است. در این رابطه مطالعات بالینی حکایت از آن دارند که داروهای استاتین از کارایی بالایی جهت کاستن از کلسترول پلاسمایی در داخل سلول و در نهایت تقلیل خطر بیماریهای قلبی - عروقی برخوردارند (۸). البته نتایج متناقضی نیز در رابطه با تأثیر لو استاتین بر ترشح ApoB و کاهش تولید VLDL گزارش شده است (۱۷، ۲۵).

در طی فرآیند بیوسنتز و ترشح VLDL، ApoB100 به محض ترجمه با فسفولیپیدها (PL) ترکیب شده و در هنگام عبور از عرض شبکه آندوپلاسمی (ER) غنی از TG و CE می شود (۱۸). به نظر می رسد تأمین لیپیدها شاخص عمده ای برای سنتز ApoB100 و ترشح آن باشد. در این رابطه ممکن است FC یا EC نقش مهمی در تسریع سنتز ApoB100 و ترشح آن داشته باشند. در این رابطه Huff و همکاران نشان دادند در سال ۱۹۹۷ که مهار سنتز فسفولیپید موجب کاهش ترشح ApoB در کشت هیاتوسیت های موش صحرانی می شود (۱۸) ولی تاکنون تأثیر وضعیت CE سلولی بر ترشح میزان PL ها نشان داده نشده است. جهت پی بردن به تأثیر مهارکننده های ACAT، HMG-CoA ردوکتاز بر ترشح ApoB و تأثیر آن بر الحاق فسفولیپید به ApoB، مطالعه حاضر بر روی سیستم پرفیوژن کبد کوچک هندی صورت گرفته است.

مواد و روش کار

لو استاتین و پروژسترون توسط شرکتهای شیمیایی رازک و ایران هورمون (ایران - تهران) جهت این مطالعه اهدا شدند. سرم آلبومین گاوی (BSA)، پلی اتیلن گلیکول (PEG-300)، اتانول، هیپارین و سایر مواد شیمیایی عمومی از شرکت مرک خریداری گردیدند.

حیوان: کوچکچه های هندی نر نژاد سفید به ظاهر سالم به وزن ۳۵۰-۴۰۰ گرم از مؤسسه رازی (ایران - کرج) خریداری گردیدند. حیوانات به مدت ۱۲ ساعت پیش از آزمایش از غذا محروم شدند ولی آب در اختیار آنها قرار داده شد.

پرفیوژن: پرفیوژن کبد طبق روش Fitzharris انجام شد (۱۴). به طور خلاصه در این روش ابتدا حیوان به طریقه استثنایی و با ماسک آغشته به کلروفورم بیهوش گردید. در ادامه هیپارین به میزان ۱۲۵۰ واحد بین المللی

لیپوپروتئین های با دانسیته بسیار کم یا (Low Density Lipoprotein) VLDL (Very Low Density Lipoprotein) در کبد سنتز شده و به داخل پلاسما ترشح می شوند (۲۴). در پلاسما VLDL طی فرآیند لیپولیز به وسیله آنزیم لیپوپروتئین لیپاز (LPL) مقدار قابل توجهی از تری گلیسریدهای (TG) خود را از دست داده و در نهایت به لیپوپروتئین های با دانسیته کم یا (LDL Lipoprotein) (Low Density Lipoprotein) تبدیل می شود. لیپوپروتئین اخیر به عنوان فاکتور خطر بیماریهای قلبی - عروقی تلقی میگردد (۳۳، ۳۱، ۳۰). به علاوه محققین معتقدند خود VLDL اکسید شده نیز در شکل گیری بیماریهای قلبی - عروقی دخالت دارد (۲۶).

VLDL شامل مجموعه ای از ذرات است که از نظر دانسیته شناوری یا (Svedberg flotation rate) sf، نحوه سنتز، ساختمان و واکنش با گیرنده (Receptor) با یکدیگر اختلاف دارند. به دلیل وجود چنین اختلافاتی زیر خانواده های این مجموعه از نظر متابولیسم، واکنش ایمنی، پاسخ به داروهای کاهنده لیپید و نقش در ایجاد بیماریهای قلبی - عروقی متفاوت از یکدیگرند (۳۶)؛ به نحوی که می توان گفت سرنوشت متابولیسی زیر خانواده ها از روی محتوای آنها تعیین می شود (۱۳).

از نظر اهمیت بالینی در بروز بیماریهای قلبی - عروقی می توان VLDL های مترشح از کبد را به دو زیر خانواده تقسیم کرد (۲۳):

۱) VLDL1 که غنی از TG بوده و از قطری بین $900 - 450 \text{ A}^\circ$ و ضریب شناوری $400 - 600 \text{ sf}$ (۲) برخوردار است و VLDL2 که غنی از کلسترول استریفیه (CE) بوده و از قطری بین $450 - 300 \text{ A}^\circ$ و ضریب شناوری $200 - 600 \text{ sf}$ برخوردار است. در این رابطه Packard و Demant در سال ۱۹۹۸ نشان داده اند که VLDL1 پیش ساز نوعی LDL است که به کندی کاتابولیزه و بیشتر در جریان خون باقی می ماند و در نتیجه موجب بروز بیماریهای قلبی - عروقی می شود (۱۰).

شواهد *in vivo* و *in vitro* حکایت از آن دارند که میزان دسترسی به کلسترول آزاد (FC) و CE می تواند ترشح زیر خانواده های VLDL را تنظیم کند (۶). مکانیسم دقیقی که کبد به وسیله آن قادر به تنظیم مقادیر ترشح VLDL1 و VLDL2 می باشد تاکنون ناشناخته است. برخی از محققین معتقدند غلظت داخل سلولی لیپیدهای مختلف (FC, CE, TG, PL) ممکن است نقش مهمی در سنتز و ترشح VLDL1 و VLDL2 داشته باشند. در این رابطه Ginsberg و همکاران در سال ۱۹۹۳ معتقدند افزایش داخل سلولی CE موجب افزایش ترشح ApoB100 می شود، در حالی که Avramoglu و همکاران (۳) در سال ۱۹۸۷ معتقدند مهار تولید CE باعث افزایش ترشح ApoB100 می شود ضمن اینکه Sniderman و همکاران کاهش ترشح ApoB100 را نیز در این شرایط گزارش کرده اند (۳۱). تاکنون جهت مهار تولید CE از مهارکننده های مختلف آنزیمی استفاده شده است. آنزیم آسیل کوآنزیم A - کلسترول آسیل ترانسفراز یا ACBT (EC 2. 3. 1. 26 Acyl coenzyme A: cholesterol acyl transferase) آنزیمی کلیدی است که در سنتز داخل سلولی CE دخالت داشته و شکل



تمام محلولهای نمکی روی ۷/۴ تنظیم گردید. دانسیته مایع پرفیوژن روی ۱/۱ گرم در میلی لیتر تنظیم و پس از ریختن ۴ میلی لیتر از آن در قسمت نختانی لوله های ultraclear دانسیته های نمکی ۱/۰۶۵، ۱/۰۶۲ و ۱/۰۰۶ گرم در میلی لیتر به صورت یک گرادیان پلکانی درآمدند. دانسیته های تهیه شده با دستگاه دانسیتومتر DMA 58 AP PAAR ساخت کشور اتریش تا ۴ رقم اعشار تأیید شدند. اولتراسانتریفوژ با دستگاه اولتراسانتریفوژ Beckman x-100 و روتور Swti 40.3 در درجه حرارت ۱۵ درجه سانتیگراد انجام گردید.

آنالیز میکروسکوپ الکترونی: جداسازی VLDL1 و VLDL2 با استفاده از میکروسکوپ الکترونی تأیید گردید. برای این منظور یک قطره (۲۰ میکرو لیتر) از VLDL1 یا VLDL2 روی گرید (Gride) پوشیده از فور موار (Formvar) ریخته شد. پس از ۶۰ ثانیه زیادی مایع به وسیله کاغذ صافی برداشته شد و به دنبال آن یک قطره فسفاتنگستات پتاسیم ۲ درصد (۶/۴ - ۶/۳ pH) به آن اضافه شد. پس از تبخیر گریدها با استفاده از میکروسکوپ الکترونی Siemens (Siemens Corp, Iselius NJ) مورد مطالعه قرار گرفت.

اندازه گیری لیپیدها و پروتئین های VLDL1 و VLDL2: لیپیدهای VLDL1 و VLDL2 با استفاده از مخلوط اتر: اتانول (۱:۳ V/V) استخراج گردیدند. در ادامه TC به روش اسپکتروفتومتری (۱۶)، پروتئین به روش برادفورد (۵)، فسفولیپید و کلسترول به روش شیمیایی (۱۶) و لیپید تام به روش شیمیایی (۱۵) محاسبه گردیدند.

آنالیز آماری: تغییر درصد تجمع اجزاء لیپوپروتئین در بین جفت گروه های درمانی و کنترل صورت گرفت. به علاوه مقایسه رگرسیون خطی (slope linear regression) با استفاده از نرم افزار آماری sigma stat و با آزمون unpaired t - student مورد مطالعه قرار گرفت.

نتایج

با استفاده از آزمایشات دز - پاسخ و مارکهای سیتوتوکسیسیته (LDH و AST) غلظت های ۱/۵ و ۲۵ میلی مول به ترتیب برای لواستاتین (تصاویر ۱ و ۲) و پروژسترون (تصاویر ۳ و ۴) به عنوان دزهای مناسب انتخاب شدند. از طرف دیگر یکپارچگی سلولهای کبدی پس از پرفیوژن با میکروسکوپ نوری مورد مطالعه قرار گرفت.

تصاویر ۵ و ۶ مقاطع کبدی را نشان می دهند. همانطور که در تصویر مشهود است ۱۲۰ دقیقه پرفیوژن کبد فاقد بروز تغییرات مورفولوژیک (تصاویر ۶) در مقایسه با کبد سالم و دست نخورده کوچک هندی (تصاویر ۵) است. جداسازی VLDL1 و VLDL2 با شمارش ۶۰ ذره از هر یک از این لیپوپروتئین ها در هر میکروگراف میکروسکوپ الکترونی تأیید گردید و اندازه لیپوپروتئین ها به صورت Mean ± SEM بیان گردید. در این رابطه اندازه VLDL1 و VLDL2 به ترتیب 839 ± 0.5 و 409.7 ± 0.36 انگستروم به دست آمد (تصاویر ۷ و ۸).

به ازاء هر کیلوگرم وزن بدن به طریقه داخل صفاقی جهت جلوگیری از لخته شدن خون تزریق گردید. پرفیوژن کبد در سیستم کاملاً بسته صورت گرفت به گونه ای که با یک کانولا مایع پرفیوژن توسط پمپ پرستالتیک (Middleton, Minipuls 3 Peristaltic Pump; Gilson, ۲/۵ ml/min/g liver به وسیله کانولای دیگر از ورید اجوف فوقانی خارج گردید و دوباره به مخزن اولیه پمپ گردید. پیش از انجام پرفیوژن مدار بسته، ابتدا به مدت ۳۰ دقیقه پرفیوژن مدار باز جهت تخلیه باقیمانده لیپوپروتئین ها از کبد صورت گرفت و در ادامه طی ۹۰ دقیقه پرفیوژن بسته اجرا گردید. حجم مایع پرفیوژن در سیستم بسته ۱۰۰ میلی لیتر حفظ گردید و هر ۱۵ دقیقه ۱۰ میلی لیتر از آن جهت جداسازی VLDL1 و VLDL2 نمونه برداری گردید. طی پرفیوژن، کبد گرم و مرطوب نگه داشته شد و pH مایع پرفیوژن با تنظیم فشار گاز (CO₂ ۵ درصد و CO₂ ۹۵ درصد) بین ۷/۴ - ۷/۳ تنظیم گردید و درجه حرارت آن روی ۳۷-۴۰°C حفظ شد.

در طی پرفیوژن زنده بودن کبد با اندازه گیری مارکهای AST و LDH ارزیابی گردید. بعد از پرفیوژن نمونه کبدی در فرمالین ۱۰ درصد تثبیت گردید و پس از رنگ آمیزی همانوکسیلین - انوزین با میکروسکوپ نوری یکپارچگی ساختمان کبد در مقایسه با کبد سالم مطالعه گردید.

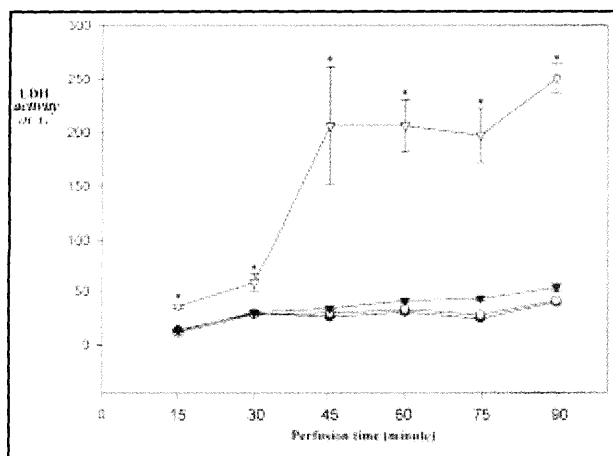
گروه های مطالعاتی: دز لواستاتین و پروژسترون با استفاده از آزمایش دز - پاسخ (Dose-Response) به دست آمد. در این رابطه ارزیابی سمی بودن یا نبودن دز به کاررفته با استفاده از مارکهای حیاتی کبد (LDH, AST) مشخص گردید. برای این منظور هر دزی از دارو روی ۴ کوچک هندی آزمایش شد. هر دارو در مخلوطی از حامل (۵:۹۵) Ethanol : PEG 300 حل گشته و پس از کنژوگه گردیدن (۱۳) با آلبومین به بافر کربس - هنسلیت - بیکربنات حاوی ۱۱۸/۹ mM NaCl، ۴/۷۹ mM KCl، ۲۴/۸ mM NaHCO₃، ۲/۵۵ mM CaCl₂، ۱/۱۹ mM KH₂PO₄ به طور جداگانه تهیه و به مدت ۱ ساعت با گاز ۹۵O₂ و ۵ درصد گازدهی گردیدند)، ۲/۵ درصد گلوکز و ۳ درصد BSA اضافه گردید. در تمامی آزمایشات غلظت حامل ۰/۲ درصد تثبیت گردید. تجربیات بر روی ۳ گروه درمانی شامل لواستاتین، پروژسترون و لواستاتین + پروژسترون (هر گروه شامل ۴ رأس کوچک) در مقابل گروه کنترل (شامل ۴ رأس کوچک) انجام شد.

جداسازی VLDL1 و VLDL2 از مایع پرفیوژن: جداسازی با روش Cumulative flotation ultracentrifugation انجام شد (۲۷). در این روش نمونه های جدا شده با استفاده از سانتریفوژ (g ۸۳۱۵۰ به مدت ۱۸ ساعت) در دانسیته ۱/۰۶۵ گرم در میلی لیتر تغلیظ شدند. در ادامه اولتراسانتریفوژ طی دو مرحله متوالی انجام شد، به گونه ای که در ابتدا VLDL1 (طی ۴h با ۳۷۸۰ rpm) و در ادامه VLDL2 (طی ۱۵h با ۴۰/۰۰۰ rpm) جدا گردیدند. در این رابطه بعد از اولتراسانتریفوژ مرحله اول ۰/۵ میلی لیتر از محلول قسمت فوقانی لوله که حاوی VLDL1 بود آسپیره گردید و به جای آن ۰/۵ میلی لیتر از دانسیته ۱/۰۰۶ گرم در میلی لیتر به آن اضافه گردید. pH

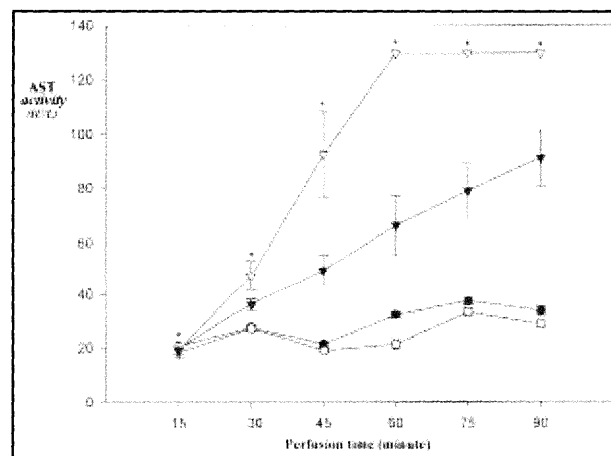


جدول ۱- تجمع لیپید تام در VLDL1 و VLDL2 در گروه های کنترل (C)، Lovastatin (L)، Progesterone (P)، Lovastatin + Progesterone (L+P) در طی ۹۰ دقیقه. در هر نمونه متوسط تجمع گروه های مختلف آزمون بصورت Mean \pm SEM نشان داده شده است.

زمان پرفیوژن (دقیقه)	تجمع لیپید در فراکسیون VLDL2 (mg/dl)				تجمع لیپید در فراکسیون VLDL1 (mg/dl)			
	P+L	L	P	C	P+L	L	P	C
۱۵	۰/۱۳ \pm ۰/۰۵	۰/۱۴ \pm ۰/۰۴	۰/۲۴ \pm ۰/۰۴۶	۰/۲۳ \pm ۰/۰۹	۰/۴۷ \pm ۰/۰۲	۰/۴۶ \pm ۰/۰۸	۰/۵۷ \pm ۰/۰۳	۰/۶۱ \pm ۰/۱۲
۳۰	۰/۶۱ \pm ۰/۰۱۱	۰/۶۷ \pm ۰/۰۹	۱/۰۱ \pm ۰/۰۴	۰/۹۸ \pm ۰/۰۹	۰/۸۵ \pm ۰/۰۷	۰/۸۶ \pm ۰/۰۲۲	۱/۱۹ \pm ۰/۰۵	۱/۱۴ \pm ۰/۰۲۹
۴۵	۱/۰۷ \pm ۰/۰۱۲	۱/۱۳ \pm ۰/۰۱۴	۱/۸ \pm ۰/۰۵۳	۱/۷۵ \pm ۰/۰۲۹	۱/۳۴ \pm ۰/۰۱۱	۱/۴۸ \pm ۰/۰۳۳	۱/۸۷ \pm ۰/۰۰۷	۱/۸۲ \pm ۰/۰۳۳
۶۰	۱/۴۸ \pm ۰/۰۱۷	۱/۵۶ \pm ۰/۰۱۹	۲/۴۵ \pm ۰/۰۳۴	۲/۴۲ \pm ۰/۰۳۹	۲/۱۳ \pm ۰/۰۰۸	۲/۲ \pm ۰/۰۴۵	۲/۶۸ \pm ۰/۰۱۲	۲/۵۹ \pm ۰/۰۴۹
۷۵	۱/۸۴ \pm ۰/۰۱۸	۱/۹ \pm ۰/۰۲۳	۳/۰۸ \pm ۰/۰۴۲	۳/۰۱ \pm ۰/۰۴۶	۲/۴۸ \pm ۰/۰۱۴	۲/۵۹ \pm ۰/۰۵۱	۳/۲۸ \pm ۰/۰۱۳	۳/۱۷ \pm ۰/۰۶
۹۰	۲/۱۷ \pm ۰/۰۲۴	۲/۳۱ \pm ۰/۰۲۷	۳/۶۶ \pm ۰/۰۳	۳/۵۹ \pm ۰/۰۵۷	۳ \pm ۰/۰۱۲	۳/۰۵ \pm ۰/۰۶۱	۳/۹۸ \pm ۰/۰۱۶	۳/۸۳ \pm ۰/۰۶۴

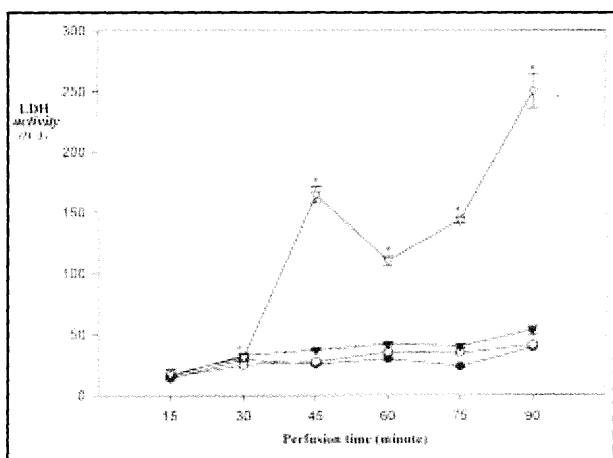


تصویر ۲

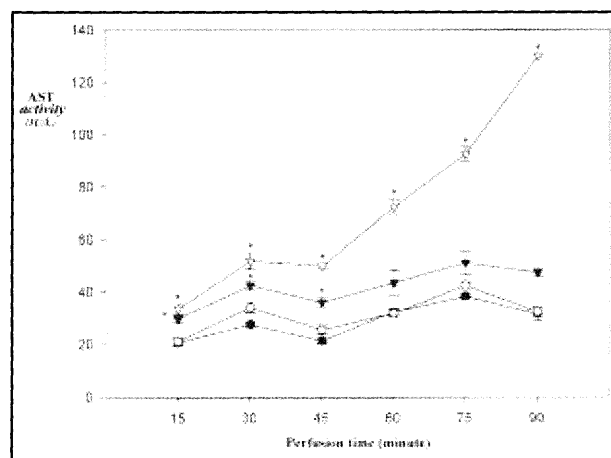


تصویر ۱

تصاویر ۱ و ۲- آزمایشات دز- پاسخ برای لوآستاتین در غلظت های مختلف (●) ۱ μM، (▼) ۱/۵ μM و (▽) ۲ μM در مقایسه با گروه کنترل (O). نشان دهنده تغییر معنی دار است. سیتوتوکسیسیته با استفاده از شاخص های توکسیسیته شامل AST (تصویر ۱) و LDH (تصویر ۲) در مایع پرفیوژن طی ۹۰ دقیقه پرفیوژن مدار بسته تعیین شده است.



تصویر ۴



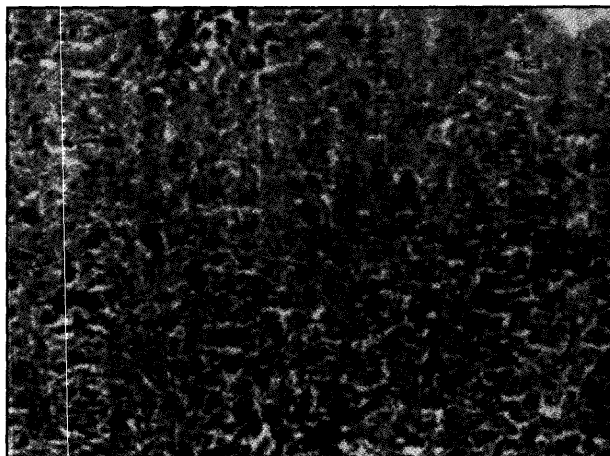
تصویر ۳

تصاویر ۳ و ۴- آزمایشات دز- پاسخ برای پروژسترون در غلظت های مختلف (●) ۲۰ μM، (▼) ۲۵ μM و (▽) ۳۰ μM در مقایسه با گروه کنترل (O). نشان دهنده تغییر معنی دار است. سیتوتوکسیسیته با استفاده از شاخص های توکسیسیته شامل AST (تصویر ۳) و LDH (تصویر ۴) در مایع پرفیوژن طی ۹۰ دقیقه پرفیوژن مدار بسته تعیین شده است.

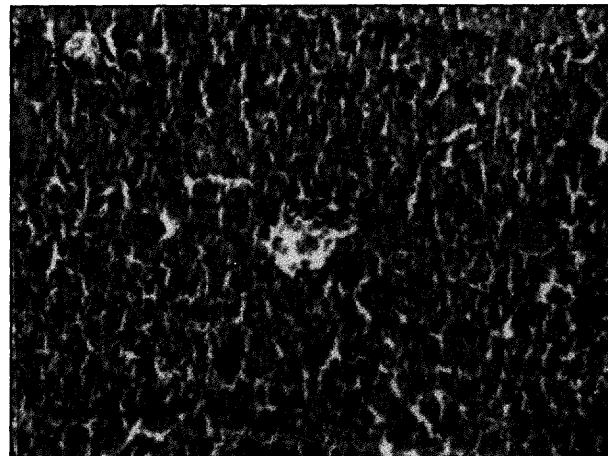
از طرف دیگر تغییر ترشح لیپید تام بر مبنای درصد تغییرات دقیقه ۹۰ نشان می دهد که پروژسترون فاقد تأثیر معنی دار بر ترشح VLDL1 و VLDL2 است، در حالی که لوآستاتین موجب ۲۰ درصد کاهش در لیپید تام VLDL1 و

طبق تقسیم بندی VLDL به دو خانواده VLDL1 و VLDL2 جدول نشان می دهد که تجمع لیپید تام در بخشهای VLDL1 و VLDL2 تحت تأثیر پروژسترون اختلاف معنی داری را با گروه کنترل نشان نمی دهد.



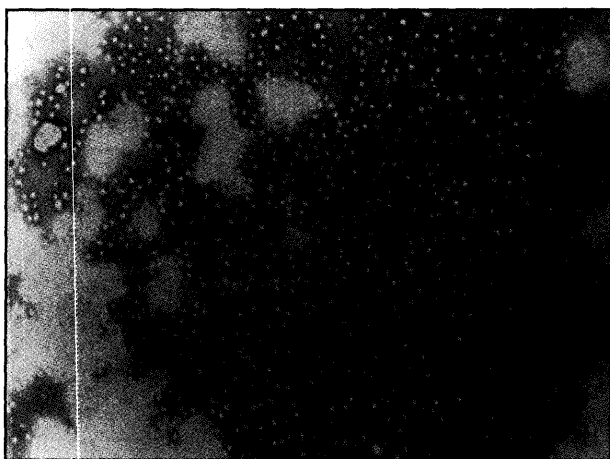


تصویر ۶

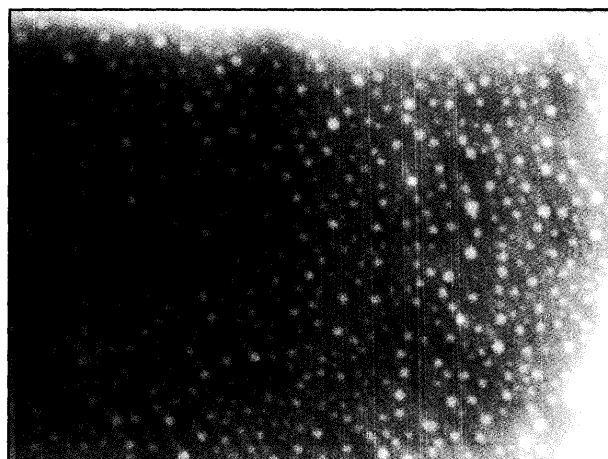


تصویر ۵

تصاویر ۵ و ۶-تظاهر میکروسکوپی یک کبد خوکچه هندی در رنگ آمیزی با همتوکسیلین وانوزی. تصویر ۵، کبد سالم یک خوکچه هندی (با بزرگنمایی ۲۲۵ X) و تصویر ۶ کبد را بعد از ۹۰ دقیقه پرفیوژن در مدار بسته نشان می دهد.



تصویر ۸



تصویر ۷

تصاویر ۷ و ۸- تصاویر VLDL1 (تصویر ۷) و VLDL2 (تصویر ۸) با بزرگنمایی ۵۰/۰۰۰: تصاویر پس از آماده سازی با میکروسکوپ الکترونی گرفته شدند. اندازه هر فراکسیون VLDL با شمارش ۶۰ ذره بصورت Mean \pm SEM بیان گردید.

نمی دهد؛ درحالیکه تغییر معنی داری با لوآستاتین و همچنین مخلوط لوآستاتین و پروژسترون مشهود است ($P < 0.05$). با وجود کاهش ۷ درصد پروتئین در VLDL1 بالوآستاتین این کاهش در مقابل مخلوط پروژسترون و لوآستاتین نیز ۷ درصد مشاهده گردید، در حالی که تغییرات درصد ترشح دقیقه ۹۰ در مقابل پروژسترون برای VLDL2 فاقد تأثیر و برای VLDL1، ۲ درصد به دست آمد. تغییر درصد ترشح پروتئین در VLDL2 برای لوآستاتین ۳۱ درصد کاهش و برای مخلوط پروژسترون و لوآستاتین ۲۹ درصد کاهش را نشان می دهد.

بحث

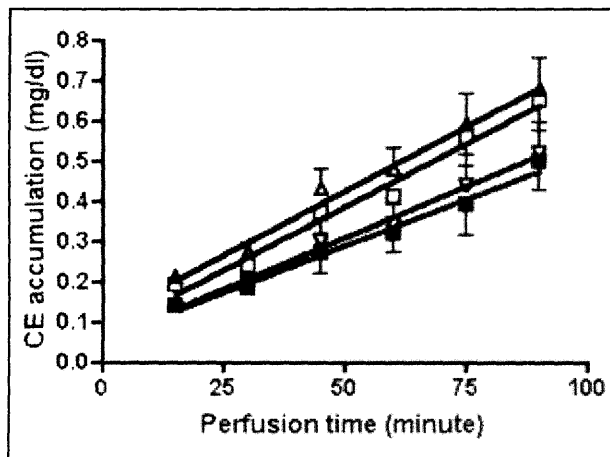
نتایج این مطالعه همسوبا یافته های Bumett و همکاران در سال ۱۹۹۹ نشان می دهد که دسترسی به CE می تواند ترشح VLDL را از کبد تنظیم کند. همانطور که در جدول ۱ ملاحظه می شود ترشح لیپید تام به ترتیب کاهش ۲۰ و ۳۷ درصد را در مقابل لوآستاتین و کاهش ۲۱ و ۴۴ درصد را در مقابل پروژسترون + لوآستاتین نشان می دهند. از سوی دیگر همانطور که در تصاویر

۴۱ درصد کاهش در VLDL2 می شود. به علاوه تحت تأثیر مخلوط توأم پروژسترون و لوآستاتین میزان لیپید تام VLDL1 و VLDL2 به ترتیب ۲۱ درصد و ۴۱ درصد کاهش را نشان می دهد.

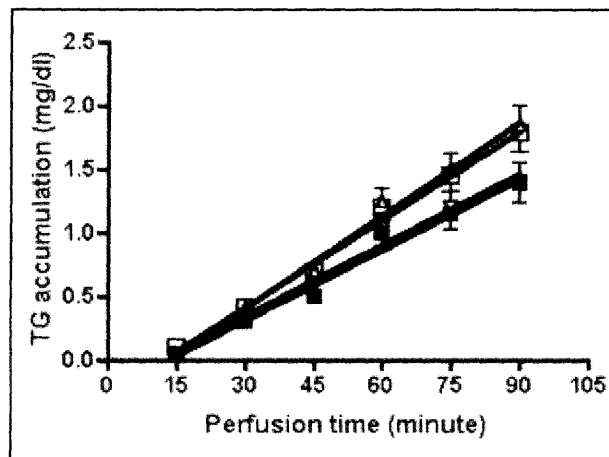
تصاویر ۹ و ۱۰ تغییرات فسفولیپیدها را به ترتیب در VLDL1 و VLDL2 طی درمان با داروهای مختلف در مقابل گروه کنترل نشان می دهند. ترشح دقیقه ۹۰ فسفولیپیدها با پروژسترون افزایش ۹ و ۶ درصد را به ترتیب برای VLDL1 و VLDL2 نشان می دهد. از سوی دیگر ترشح PL بالوآستاتین کاهش ۲۰ و ۳۹ درصد و بالوآستاتین + پروژسترون کاهش ۲۰ و ۴۵ درصد نشان می دهند. با وجود تغییر ترشح فسفولیپید در VLDL1 این تغییر با آزمون t-student معنی دار نیست درحالیکه این تغییرات در VLDL2 معنی دار است ($P < 0.05$).

از سوی دیگر تغییرات پروتئین تام VLDL1 و VLDL2 تحت تأثیر لوآستاتین و پروژسترون به ترتیب در اشکال ۱۱ و ۱۲ نمایش داده شده است. همان طور که در اشکال مشخص است پروتئین تام تحت تأثیر پروژسترون تغییر معنی داری را در آنالیز رگرسیون خطی با آزمون t-student نشان



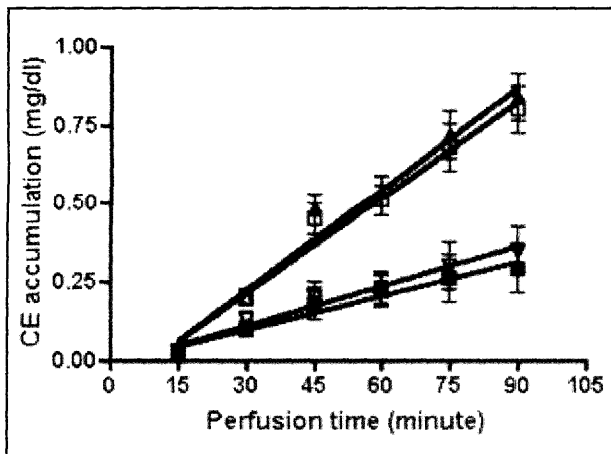


تصویر ۱۰

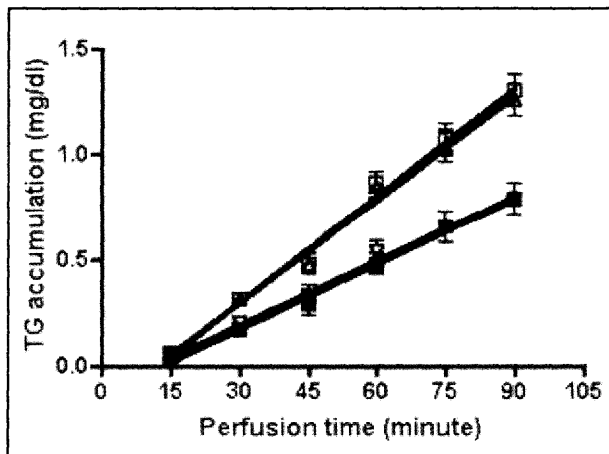


تصویر ۹

تصاویر ۹ و ۱۰- مقادیر VLDL1-PL (تصویر ۹) و VLDL2-PL (تصویر ۱۰) حاصل از مایع پرفیوژن در گروه‌های درمانی پروژسترون (○)، لوآستاتین (●) و پروژسترون + لوآستاتین (■) در مقایسه با گروه کنترل (□). شیب رگرسیون خطی هریک از گروه‌های درمانی در مقابل گروه کنترل با آزمون t-student مقایسه گردید.



تصویر ۱۲



تصویر ۱۱

تصاویر ۱۱ و ۱۲- مقادیر VLDL1-TOP (تصویر ۱۱) و VLDL2-TOP (تصویر ۱۲) حاصل از مایع پرفیوژن در گروه‌های درمانی پروژسترون (○)، لوآستاتین (●) و پروژسترون + لوآستاتین (■) در مقایسه با گروه کنترل (□). شیب رگرسیون خطی هریک از گروه‌های درمانی در مقابل گروه کنترل با آزمون t-student مقایسه گردید.

اختلال در روند تا خوردگی ApoB شده و یا لیپیداسیون کامل ApoB را کاهش داده و در نتیجه موجب کاهش ترشح آن شود. همچنین ممکن است سرعت تجزیه ApoB و یا جابجائی آن از عرض شبکه آندوپلاسمی تحت تأثیر استاتین‌ها قرار گیرد (۲). به علاوه Huff و همکاران در سال ۱۹۹۷ مهارکننده‌های HMG-CoA رد وکتاز کاهش معنی داری را در ترشح فسفولیپیدهای VLDL ایجاد می‌کنند. به نظر می‌رسد به علت غلظت بیشتر CE در زیرخانواده VLDL2 تأثیر لوآستاتین بر این زیرخانواده بیشتر از زیرخانواده VLDL1 است. از آنجائیکه سرعت ترشح ApoB ارتباط مستقیمی با غلظت CE سلولی دارد و از طرف دیگر اضافه شدن PL به ApoB سنتز شده پیش شرط برای ترشح VLDL در مسیر ترشحاتی کبدی است (۲۷، ۲۳) کاهش ترشح در هر دو فرآکسیون و کاهش بیشتر معنی دار آن در زیرخانواده قابل توجه است. محققین معتقدند که دو آنزیم ACAT (ACAT1, ACAT2) در استریفیکاسیون FC سلولی و تبدیل آن به CE شرکت دارند. در این رابطه ACAT2 مسؤول تولید CE مورد نیاز جهت سنتز VLDL می‌باشد در حالی

۹ و ۱۰ ملاحظه می‌شود بخشی از این کاهش ناشی از تقلیل میزان PL است. اگرچه آنالیز رگرسیون خطی با آزمون t-student حکایت از عدم تغییر معنی دار ترشح PL دارد ولی از آنجایی که کاهش در این فرآکسیون به صورت پیوسته دنبال می‌شود این فرضیه را تقویت می‌کند که لوآستاتین در هر دو فرآکسیون اثر کاهنده دارد. علت عدم معنی دار بودن این کاهش ممکن است اثر کوتاه مدت (۹۰ دقیقه) لوآستاتین باشد به گونه ای که Isusi و همکاران در سال ۲۰۰۰ معتقدند اثر کوتاه مدت لوآستاتین بر سنتز و ترشح TG و CE متفاوت از اثر طولانی مدت آن است. ضمن اینکه میزان بیشتر CE در نسبت نیز می‌تواند از دیگر دلایل آن می‌تواند باشد (۱۸، ۴).

تغییر درصد ترشح پروتئین در فرآکسیون معنی دار نمی‌باشد در حالی که این تغییر معنی دار است. در این رابطه همانطور که Wilcox و همکاران در سال ۱۹۹۹ معتقدند کاهش CE باعث افزایش تجزیه داخل سلولی ApoB می‌شود که در فرآکسیون مشهود است (۳۴، ۲۱، ۴). Huff و همکاران در سال ۱۹۹۷ بیان داشته اند کاهش سنتز CE یا FC ممکن است موجب



References

1. Arad Y., Ramakrishnan R., Ginsberg H.N.(1992): Effect of lovastatin therapy on very low density lipoprotein triglyceride metabolism in subjects with combined hyperlipidemia evidence for reduced assembly and secretion of triglyceride rich lipoproteins. *Metabolism*. 41,487-93.
2. Arbogast B.W., Dreher N.J.(1987) Coronary disease prediction using a new atherogenic index. *Atherosclerosis* .66,1-2:55-62.
3. Avramoglu R.K., Cianflone K.,Sniderman A.D.(1995): Role of the neutral lipid accessible pool in the regulation of secretion of apoB100 lipoprotein particles by Hep G2 cells. *J. Lipid Res*.36:2513-2528.
4. Berglund L., Sharkey M.F., Elam R.L., witzum JL.(1989): Effects of lovastatin therapy on guinea pig low density lipoprotein composition and metabolism. *J. Lipid Res*.30:1591-1600.
5. Bradford M. (1976): A rapid and sensitive method for the quantitation of microgram quantities of protein utilizing the principle of protein – dye binding. *Anal. Biochem*. 72: 248-254.
6. Burnett J.R., Wilcox L.J., Huff M.W. (1999): Acyl coenzyme A:Cholesterol acyl transferase inhibition and hepatic apolipoprotein B secretion.*Clinica Chimica Acta* 286,231-42.
7. Carr T.P., Parks J.S. and Rudel L.L.(1992): Hepatic ACAT activity in African green monkeys is highly correlated to plasma LDL cholesterol ester enrichment and coronary artery atherosclerosis. *Arterioscler. Thromb*. 12:1274-1283.
8. Cuchel M., Schaefer E.J., Millar J.S., Jones PJ.,Dolnikowski GG,Vergani C.,Lichtenstein AH.(1997): Lovastatin decrease de novo cholesterol synthesis and LDL apoB100 production rates in combined-hyperlipidemicmales. *Arterioscler. Thromb. Vasc. Biol*. 17:1910-1917.
9. Dashti N.(1992): The effect of low density lipoproteins, cholesterol and 25-hydroxy cholesterol on apolipoprotein B gene expression in Hep G2 cells. *J. Biol.Chem*.267:7160-7169.
10. Demant T., Packard C.J.(1998): In vivo studies of VLDL metabolism and LDL heterogeneity.*Eur. Heart J*.19,suppl H. H7-10.
11. Dixon J.L., Ginsberg H.N.(1993): Regulation of hepatic secretion of apolipoprotein B containing lipoproteins: Information obtained from cultured liver cells. *J. Lipid Res*.34:167-179.
12. Field F.J. and Mathur S.N.(1987) Regulation of acyl-CoA: cholesterol acyltransferase by 25- hydroxy cholesterol in rabbit intestinal microsomes and absorptive cells. *J. Lipid Res*.24,1049-1059.
13. Fisher R.M., Coppack S.W., Gibbons G.F.,Frayn KN.,(1993) Post-prandial VLDL subfraction metabolism in normal and obese subjects. *Int.J.Obes*.17:263-259.
14. Fitzharris T.J., Quinn D.M., Goh E.H., et al.(1981): Hydrolysis of guinea pig nascent very low density lipoproteins catalyzed by lipoprotein lipase: activation by human apolipoprotein CII. *J. Lipid Res*. 22,921-933.
15. Frings C.S., Fendley T.W., Dunn R.T.,Queen CA. (1972): Improved determination of total serum lipids by the

که ACAT1 موجب بیوسنتز شکل ذخیره ای CE در سلول می شود. از آنجایی که در این مطالعه پروژسترون نتوانسته موجب مهار ترشح VLDL از کبد شود به نظر می رسد پروژسترون مهارکننده مناسبی برای ACAT2 نمی باشد (۲۸، ۱۸).

به طور کلی به نظر می رسد مهار کوتاه مدت آنزیم HMG-CoA ردوکتاز با مهارکننده های استاتینی از یک سو با کاهش FC و از طرف دیگر با کاستن از فعالیت آنزیم ACAT موجب کاهش CE سلولی می شود. در نتیجه چنین کاهش در میزان CE سلولی، ترشح فراکسیون VLDL2 که غنی از CE می باشد نیز کاهش معنی داری می یابد. با توجه به اینکه ترشح ApoB تابع الحاق CE به آن است (۲۲، ۴) در این شرایط ترشح ApoB نیز کاهش می یابد. از طرف دیگر ApoB در مسیر ترشحات خود نیاز به الحاق PL به خود داشته که با توجه به کاهش ترشح ApoB میزان PL نیز کاهش می یابد. به علاوه، تحقیق فعلی حاکی از عدم تأثیر پروژسترون به عنوان یک مهارکننده مناسب جهت ترشح VLDL1 و VLDL2 از سلولهای کبد کوچک هندی است.

تشکر و قدردانی

بدین وسیله نویسندگان از زحمات آقای دکتر سید حسین مرجانمهر جهت کمک بیدریغ در مطالعه میکروسکوپی کبد تشکر و قدردانی می نمایند. در ضمن از آقای هاشمی جهت کمک در تهیه میکروگراف های میکروسکوپ الکترونی تشکر می نمایند. در ضمن از مدیریت محترم قطب علوم تشریحی دامپزشکی، جناب آقای دکتر بیژن رادمهر به جهت کمک در انجام طرح صمیمانه تشکر و قدردانی می نماید.



- sulfo-phospho-vanillin reaction. *Clin. Chem.* 18: 673-676.
16. Gottfried S.P., Rosenberg B. (1973) Improved manual spectrophotometric procedure for serum triglycerides. *Clin. Chem.* 19(9):1077-1078.
 17. Graham A., Wood J.L., Russell L.J. (1996): Cholesterol esterification is not essential for secretion of lipoprotein components by Hep G2 cells. *Biochim. Biophys. Acta*, 1302:46-54.
 18. Huff M.W., Burnett J.R. (1997): 3-Hydroxy-3-methylglutaryl coenzyme A reductase inhibitors and hepatic apolipoprotein B secretion. *Curr. Opin. Lipidol.* 8(3):138-145.
 19. Isusi E., Aspichueta P., Liza M., Hernadex ML., Diaz C., Hernandez G., Martinez MJ, ocha B. (2000): Short- and long-term effects of atorvastatin, lovastatin and simvastatin on the cellular metabolism of cholesteryl esters and VLDL secretion in rat hepatocytes. *Atherosclerosis.* 153(2):283-294.
 20. Krause B.R., Newton R.S. (1995) Lipid-lowering activity of atorvastatin and lovastatin in rodent species: triglyceride-lowering in rats correlates with efficacy in LDL. *Animal models.* 117(2):237-44 .
 21. Kushwaha R.S., Foster D.M., Barrett P.H.R. *Carey KD.* (1990) Effect of estrogen and progesterone on metabolism of apolipoprotein B in babons. *Am. J. Physiol.* 258: E172-183.
 22. Lin MCM., Gordon D., Wetterau J.R. (1995): Microsomal triglyceride transfer protein regulation in Hep G2 cells. Insulin negatively regulates MTP gene expression. *J. Lipid Res.* 36:1073-1081.
 23. Malmstrom R., Packard C.J, Caslake M., Bedford D., Stewart P., Shepherd J., Taskinen MR. (1999): Effect of heparin-stimulated plasma lipolytic activity on VLDL Apo B subclass metabolism in normal subjects. *Atherosclerosis.* 146:381-390.
 24. Marinetti G.V. (1990): Disorders of lipid metabolism, New York Ny, Plenum, PP:75-119.
 25. Markwell M.A.K., Haas S.M., Bieber L.L. Tolbert NE. (1978): A modification of the lowry procedure to simplify protein determination in membrane and lipoprotein samples. *Anal. biochem.* 87:206-210.
 26. McEney J., Trimble E.R., Young I.S. (1998): A simple method for assessing copper-mediated oxidation of very-low-density lipoprotein isolated by rapid ultracentrifugation. 35:504-514.
 27. Packard C.J., Shepherd J. (1997): Lipoprotein heterogeneity and apolipoprotein b metabolism. *Arterioscler. Thromb. Vasc. Biol.* 17(12):3542-3556.
 28. Pease R.J., Leiper J.M. (1996): Regulation of hepatic apolipoprotein B-containing lipoprotein secretion. *Curr. Opin. Lipidol.* 7:132-138.
 29. Redgrave T.G. and Carlson L.A. (1979): Changes in plasma very low density lipoprotein and low density lipoprotein content, composition and size after a fatty meal in normo and hypertriglyceridemic man. *J. Lipid. Res.* 20:217-230.
 30. Rodriguez J.L., Ghiselli G.C., Torreggiani D., Sirtori C.R. (1976) :Very low density lipoproteins in normal and cholesterol-fed rabbits: lipid and protein composition and metabolism. Part1. Chemical composition of very low density lipoproteins in rabbits. *Atherosclerosis.* 23(1):73-83.
 31. Sniderman A.D., Cianflone K. (1993): Substrate delivery as a determination of hepatic apo B secretion. *Arterioscler. Thromb.* 13(5):629-636.
 32. Tanaka M., Jingami H., Otani H., Cho M., Ueda Y., Arati H., Nagano Y., Doi T., Yokode M., Kita T. (1993) Regulation of apolipoprotein B production and secretion in response to the change of intracellular cholesteryl ester contents in rabbit hepatocytes . *J. Biol. Chem.* 268: 12713 - 12718.
 33. Vyden J.K., Thorner J., Nagasawa K., Takano T., Grose th, Dittrich MF, Perlow R., Swan HJ. (1975): Metabolic and cardiovascular abnormalities in patients with peripheral arterial disease. *Am. Heart J.* 90(6):703-708.
 34. Wilcox L.J., Burnett PHR., and Huff M.W. (1999): Differential regulation of apolipoprotein B secretion from HepG2 cells by two HMG-CoA reductase inhibitors, atorvastatin and simvastatin. *J. Lipid Res.* 40:1078-1089 .
 35. Wu X., Sakata N., Lui E., Ginsberg H.N. (1994): Evidence for a lack of regulation of the assembly and secretion of apolipoprotein B containing lipoprotein from Hep G2 cells by cholesteryl ester. *J. Biol. Chem.* 269: 12375-12382 .
 36. Zhao S.P., Bastiaanse E.M.L., Hau M.F., Smelt AH., Gevers Leuven JA., Van der Learse A., Van't Hoof FM. (1995): Separation of VLDL subfraction by density gradient ultracentrifugation. *J. Lab. Clin. Med.* 125 (5): 641-649.

